

Fondamenti di Automatica

Giorgio Battistelli

Dipartimento di Ingegneria dell'Informazione, Università di Firenze



UNIVERSITÀ
DEGLI STUDI
FIRENZE

DINFO
DIPARTIMENTO DI
INGEGNERIA
DELL'INFORMAZIONE

2 Analisi dei sistemi dinamici

2.4 **Antitrasformata di Laplace**

Antitrasformata di Laplace

- Dato una funzione $F(s)$ nel dominio di Laplace, possiamo determinare il corrispondente nel tempo mediante l'**antitrasformata di Laplace**

$$f(t) = \mathcal{L}^{-1}\{F(s)\} = \frac{1}{2\pi j} \lim_{T \rightarrow \infty} \int_{\gamma-jT}^{\gamma+jT} F(s) e^{sT} ds$$

- L'applicazione della formula non è pratica (integrale nel piano complesso)

Idea: Per calcolare l'antitrasformata

- 1 Si scompone $F(s)$ in una combinazione lineare di **funzioni elementari**
- 2 Si utilizza la **tabella delle trasformate** per antitrasformare ciascun termine elementare

Nota: l'idea può essere applicata quando $F(s)$ è una funzione razionale

Trasformate di Laplace dei segnali elementari

SEGNALE	$f(t)$	$F(s)$
Impulso unitario	$\delta(t)$	1
Gradino unitario	$1(t)$	$1/s$
Rampa unitaria	$t \cdot 1(t)$	$1/s^2$
Rampa parabolica unitaria	$(t^2/2)1(t)$	$1/s^3$
Esponenziale	$e^{at} 1(t)$	$1/(s - a)$
Sinusoide	$\sin(\omega_0 t) 1(t)$	$\omega_0/(s^2 + \omega_0^2)$
Cosinusoide	$\cos(\omega_0 t) 1(t)$	$s/(s^2 + \omega_0^2)$
Esponenziale \times monomio	$(t^\ell/\ell!) e^{at} 1(t)$	$1/(s - a)^{\ell+1}$

Esempio introduttivo

- Consideriamo la funzione razionale

$$F(s) = \frac{1}{s^2 - 1} = \frac{1}{(s + 1)(s - 1)}$$

- Scomponendo in fratti semplici

$$F(s) = \frac{1}{(s + 1)(s - 1)} = \frac{K_1}{s + 1} + \frac{K_2}{s - 1}$$

- Per la linearità

$$\begin{aligned} f(t) = \mathcal{L}^{-1} \left\{ \frac{1}{(s + 1)(s - 1)} \right\} &= K_1 \mathcal{L}^{-1} \left\{ \frac{1}{s + 1} \right\} + K_2 \mathcal{L}^{-1} \left\{ \frac{1}{s - 1} \right\} \\ &= K_1 e^{-t} 1(t) + K_2 e^t 1(t) \end{aligned}$$

Esempio introduttivo

- Per calcolare le costanti K_1 e K_2

$$\begin{aligned} F(s) &= \frac{1}{(s+1)(s-1)} = \frac{K_1}{s+1} + \frac{K_2}{s-1} \\ &= \frac{K_1(s-1) + K_2(s+1)}{s^2 - 1} = \frac{(K_1 + K_2)s + K_2 - K_1}{s^2 - 1} \end{aligned}$$

- Eguagliando i numeratori

$$\begin{aligned} \begin{cases} K_1 + K_2 &= 0 \\ K_2 - K_1 &= 1 \end{cases} &\Rightarrow \begin{cases} K_1 &= -K_2 \\ K_2 + K_2 &= 1 \end{cases} \\ \begin{cases} K_1 &= -1/2 \\ K_2 &= 1/2 \end{cases} \end{aligned}$$

- Complessivamente

$$\begin{aligned} f(t) = \mathcal{L}^{-1} \left\{ \frac{1}{(s+1)(s-1)} \right\} &= -\frac{1}{2} \mathcal{L}^{-1} \left\{ \frac{1}{s+1} \right\} + \frac{1}{2} \mathcal{L}^{-1} \left\{ \frac{1}{s-1} \right\} \\ &= -\frac{1}{2} e^{-t} 1(t) + \frac{1}{2} e^t 1(t) \end{aligned}$$

Funzioni razionali

- Consideriamo una **funzione razionale**

$$F(s) = \frac{b(s)}{a(s)} = \frac{b_n s^n + b_{n-1} s^{n-1} + \dots + b_0}{s^n + a_{n-1} s^{n-1} + \dots + a_0}$$

- $F(s)$ si dice **strettamente propria** se $b_n = 0$
- $F(s)$ si dice **semplicemente propria** se $b_n \neq 0$

Ipotesi: $b(s)$ e $a(s)$ sono **coprime**, ossia non hanno radici comuni

- le radici di $a(s)$ sono dette **poli** di $F(s)$

$$p_i \text{ polo di } F(s) \Leftrightarrow a(p_i) = 0$$

- le radici di $b(s)$ sono dette **zeri** di $F(s)$

$$z_i \text{ zero di } F(s) \Leftrightarrow b(z_i) = 0$$

Teorema dei residui - caso di poli distinti

- Siano p_1, \dots, p_n i poli di $F(s)$ (radici di $a(s)$)
- Supponiamo preliminarmente che i poli siano **distinti**

$$p_i \neq p_j \text{ per } i \neq j$$

e scriviamo

$$F(s) = \frac{b(s)}{a(s)} = \frac{b(s)}{(s - p_1) \cdots (s - p_n)} = \frac{b(s)}{\prod_{i=1}^n (s - p_i)}$$

Fatto 2.4 Si consideri una funzione razionale **strettamente propria con poli distinti**. Allora $F(s)$ può sempre essere scritta come:

$$F(s) = \sum_{i=1}^n \frac{K_i}{s - p_i}$$

dove K_i è detto **residuo** associato al polo p_i e si calcola come

$$K_i = \lim_{s \rightarrow p_i} (s - p_i) F(s)$$

Teorema dei residui: cenno di dimostrazione

- Supponiamo che

$$F(s) = \sum_{i=1}^n \frac{K_i}{s - p_i}$$

- Considerando il seguente limite

$$\begin{aligned} \lim_{s \rightarrow p_i} (s - p_i) F(s) &= \lim_{s \rightarrow p_i} (s - p_i) \sum_{\ell=1}^n \frac{K_\ell}{s - p_\ell} \\ &= \lim_{s \rightarrow p_i} \left[K_i + \sum_{\ell \neq i} K_\ell \frac{(s - p_i)}{s - p_\ell} \right] = K_i \end{aligned}$$

dove l'ultima eguaglianza vale perché $p_i \neq p_\ell$ se $i \neq \ell$

- Poiché questo vale per ogni p_i , con $i = 1, \dots, n$ ottengo n condizioni che definiscono in modo univoco $F(s)$

Teorema dei residui e antitrasformata di Laplace

- Consideriamo il segnale

$$f(t) = \mathcal{L}^{-1} \{F(s)\}$$

- Dalla scomposizione in fratti semplici

$$F(s) = \sum_{i=1}^n \frac{K_i}{s - p_i}$$

e dalla linearità dell'antitrasformata di Laplace, abbiamo

$$\begin{aligned} f(t) &= \mathcal{L}^{-1} \left\{ \sum_{i=1}^n \frac{K_i}{s - p_i} \right\} \\ &= \sum_{i=1}^n K_i \mathcal{L}^{-1} \left\{ \frac{1}{s - p_i} \right\} = \sum_{i=1}^n K_i e^{p_i t} 1(t) \end{aligned}$$

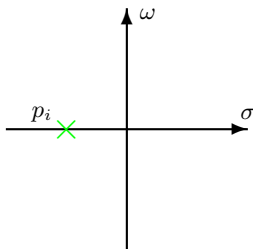
Definizione: i segnali $e^{p_1 t} 1(t), \dots, e^{p_n t} 1(t)$ sono detti **modi** della funzione $F(s)$

Polo reale $p_i < 0$

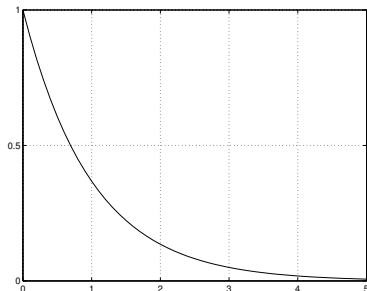
- **polo reale** $p_i < 0 \Rightarrow$ modo corrispondente

$$e^{p_i t} 1(t)$$

esponenziale **convergente** a 0



Posizione del polo nel piano s



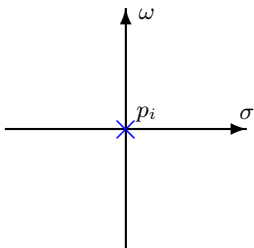
Evoluzione del modo nel tempo

Polo reale $p_i = 0$

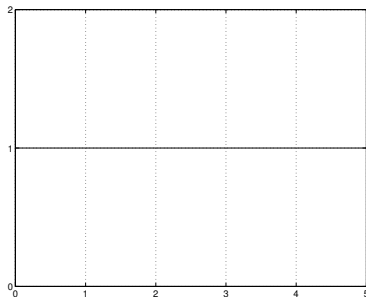
- **polo reale** $p_i = 0 \Rightarrow$ modo corrispondente

$$e^{p_i t} 1(t) = 1(t)$$

gradino unitario



Posizione del polo nel piano s



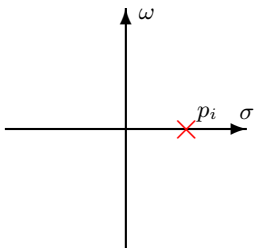
Evoluzione del modo nel tempo

Polo reale $p_i > 0$

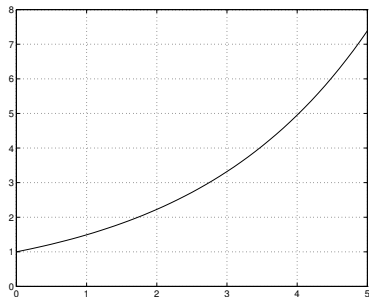
- **polo reale** $p_i > 0 \Rightarrow$ modo corrispondente

$$e^{p_i t} 1(t)$$

esponenziale **divergente**



Posizione del polo nel piano s



Evoluzione del modo nel tempo

Poli complessi

- Consideriamo un **polo complesso**

$$p_i = \sigma_i + j\omega_i$$

con $\omega_i \neq 0$

- Se p_i polo con residuo $K_i = \alpha_i + j\beta_i$
 \Rightarrow il **complesso coniugato**

$$\bar{p}_i = \sigma_i - j\omega_i$$

è polo con residuo $\bar{K}_i = \alpha_i - j\beta_i$

- Nella scomposizione in fratti semplici ho due termini del tipo

$$\frac{K_i}{s - p_i} + \frac{\bar{K}_i}{s - \bar{p}_i}$$

- Antitrasformando

$$\mathcal{L}^{-1} \left\{ \frac{K_i}{s - p_i} + \frac{\bar{K}_i}{s - \bar{p}_i} \right\} = \left(K_i e^{p_i t} + \bar{K}_i e^{\bar{p}_i t} \right) 1(t)$$

Poli complessi

Nota: Le due esponenziali complesse

$$\begin{aligned} e^{p_i t} &= e^{\sigma_i t + j\omega_i t} = e^{\sigma_i t} [\cos(\omega_i t) + j \sin(\omega_i t)] \\ e^{\bar{p}_i t} &= e^{\sigma_i t - j\omega_i t} = e^{\sigma_i t} [\cos(\omega_i t) - j \sin(\omega_i t)] \end{aligned}$$

si combinano in modo che la parte immaginaria si annulli

- Dato il segnale

$$\left(K_i e^{p_i t} + \bar{K}_i e^{\bar{p}_i t} \right) 1(t) = \mathcal{L}^{-1} \left\{ \frac{K_i}{s - p_i} + \frac{\bar{K}_i}{s - \bar{p}_i} \right\}$$

con

$$K_i = \alpha_i + j\beta_i \quad \bar{K}_i = \alpha_i - j\beta_i$$

vale

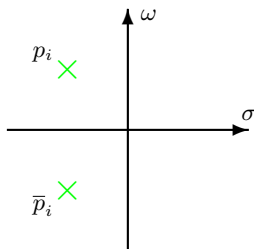
$$\left(K_i e^{p_i t} + \bar{K}_i e^{\bar{p}_i t} \right) 1(t) = [2\alpha_i e^{\sigma_i t} \cos(\omega_i t) - 2\beta_i e^{\sigma_i t} \sin(\omega_i t)] 1(t)$$

Poli complessi coniugati con $\sigma_i < 0$

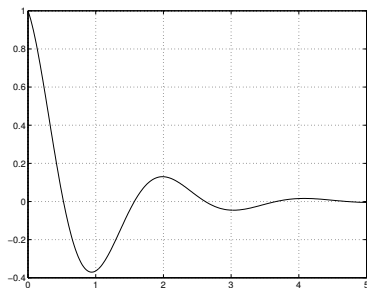
- **poli complessi coniugati** $p_i = \sigma_i + j\omega_i$, $\bar{p}_i = \sigma_i - j\omega_i$ con $\sigma_i < 0$
 \Rightarrow modi corrispondenti

$$\sin(\omega_i t) e^{\sigma_i t} 1(t), \cos(\omega_i t) e^{\sigma_i t} 1(t)$$

esponenziali oscillanti **convergente** a 0



Posizione dei poli nel piano s



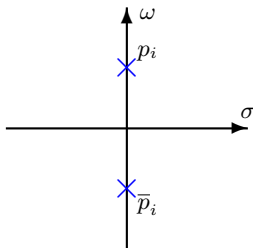
Evoluzione del modo nel tempo

Poli complessi coniugati con $\sigma_i = 0$

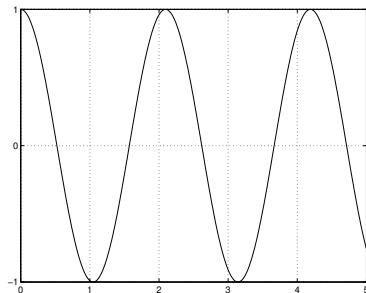
- **poli immaginari** $p_i = j\omega_i$, $\bar{p}_i = -j\omega_i$ con $\sigma_i = 0$
 \Rightarrow modi corrispondenti

$$\sin(\omega_i t) 1(t) , \cos(\omega_i t) 1(t)$$

oscillanti limitati



Posizione dei poli nel piano s



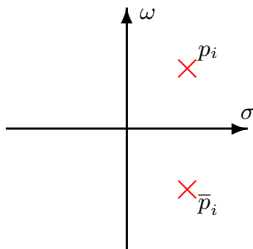
Evoluzione del modo nel tempo

Poli complessi coniugati con $\sigma_i > 0$

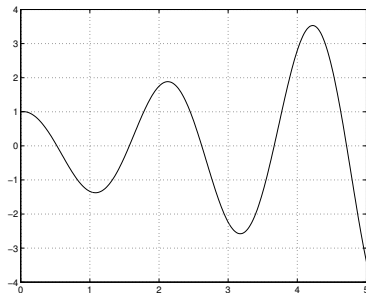
- **poli complessi coniugati** $p_i = \sigma_i + j\omega_i$, $\bar{p}_i = \sigma_i - j\omega_i$ con $\sigma_i > 0$
 \Rightarrow modi corrispondenti

$$\sin(\omega_i t) e^{\sigma_i t} 1(t), \cos(\omega_i t) e^{\sigma_i t} 1(t)$$

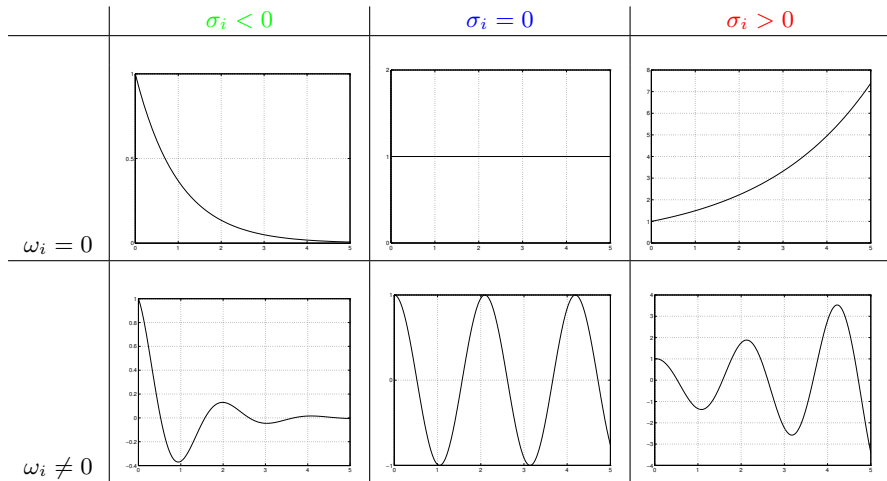
esponenziali **oscillanti divergenti**



Posizione dei poli nel piano s



Evoluzione del modo nel tempo

Evoluzione dei modi $e^{p_i t} 1(t)$ 

Classificazione dei modi $e^{p_i t} 1(t)$

	$\sigma_i < 0$	$\sigma_i = 0$	$\sigma_i > 0$
$\omega = 0$	convergente non oscillante	limitato non oscillante	divergente non oscillante
$\omega_i \neq 0$	convergente oscillante	limitato oscillante	divergente oscillante

- **Parte reale** $\sigma_i = \text{Re}\{p_i\}$ determina la **convergenza/divergenza**
- **Parte immaginaria** $\omega_i = \text{Im}\{p_i\}$ determina la presenza o meno di **oscillazioni**

Nota: Per conoscere l'andamento qualitativo di $f(t) = \mathcal{L}^{-1}\{F(s)\}$ è sufficiente guardare la **posizione dei poli** nel piano s (non è necessario calcolare i residui)

Esempio di applicazione del Teorema dei residui

- Consideriamo la funzione razionale

$$F(s) = \frac{s+1}{s^2-s} = \frac{s+1}{s(s-1)}$$

- i poli sono $p_1 = 0$ e $p_2 = 1$

$$\Rightarrow F(s) = \frac{K_1}{s-p_1} + \frac{K_2}{s-p_2} = \frac{K_1}{s} + \frac{K_2}{s-1}$$

- Applicando il teorema dei residui

$$K_1 = \lim_{s \rightarrow p_1} (s-p_1)F(s) = \lim_{s \rightarrow 0} sF(s) = \lim_{s \rightarrow 0} \frac{s+1}{s-1} = -1$$

$$K_2 = \lim_{s \rightarrow p_2} (s-p_2)F(s) = \lim_{s \rightarrow 1} (s-1)F(s) = \lim_{s \rightarrow 1} \frac{s+1}{s} = 2$$

- Antitrasformando

$$f(t) = \mathcal{L}^{-1}\{F(s)\} = K_1 e^{p_1 t} 1(t) + K_2 e^{p_2 t} 1(t) = -1(t) + 2e^t 1(t)$$

un modo limitato non oscillante $1(t)$ e un modo divergente non oscillante $e^t 1(t)$

Esercizi proposti

Determinare l'antitrasformata delle seguenti funzioni razionali e classificarne i modi:

$$1 \quad F(s) = \frac{5-s}{2s^2-50}$$

$$2 \quad F(s) = \frac{1}{s^2+s+1}$$

$$3 \quad F(s) = \frac{2}{s^3+4s}$$

$$4 \quad F(s) = \frac{5s+2}{s^2+1}$$

Nota: Nel caso di poli complessi coniugati, ricordare il risultato di pagina 16

Funzioni razionali con poli multipli

- Consideriamo una funzione razionale

$$F(s) = \frac{b(s)}{a(s)}$$

con $a(s)$ e $b(s)$ coprimi (senza fattori comuni)

- un polo p_i ha **molteplicità** m_i se possiamo scrivere $a(s) = \tilde{a}(s)(s - p_i)^{m_i}$ con $\tilde{a}(p_i) \neq 0$
- Dati i poli

$$p_1, \dots, p_k$$

con le loro molteplicità

$$m_1, \dots, m_k$$

allora possiamo scrivere

$$F(s) = \frac{b(s)}{(s - p_1)^{m_1} \dots (s - p_k)^{m_k}} = \frac{b(s)}{\prod_{i=1}^k (s - p_i)^{m_i}}$$

- Per il teorema fondamentale dell'algebra $\sum_{i=1}^k m_i = n$

Esempio introduttivo

- Consideriamo la funzione razionale

$$F(s) = \frac{3s + 1}{s^2}$$

- $F(s)$ ha un polo $p_1 = 0$ con molteplicità $m_1 = 2$
- Possiamo scomporre $F(s)$ come

$$F(s) = \frac{3s}{s^2} + \frac{1}{s^2} = \frac{3}{s} + \frac{1}{s^2}$$

- Per la linearità

$$\begin{aligned} f(t) &= \mathcal{L}^{-1}\{F(s)\} = \mathcal{L}^{-1}\left\{\frac{3}{s} + \frac{1}{s^2}\right\} \\ &= 3\mathcal{L}^{-1}\left\{\frac{1}{s}\right\} + \mathcal{L}^{-1}\left\{\frac{1}{s^2}\right\} \\ &= 3 \cdot 1(t) + t \cdot 1(t) \end{aligned}$$

Teorema dei residui - caso generale

- Siano p_1, \dots, p_k i poli di $F(s)$ (radici di $a(s)$) con le loro molteplicità m_1, \dots, m_k e scriviamo

$$F(s) = \frac{b(s)}{\prod_{i=1}^k (s - p_i)^{m_i}}$$

Fatto 2.5 Si consideri una funzione razionale **strettamente propria**. Allora $F(s)$ ammette un'espansione in fratti nella forma

$$\begin{aligned} F(s) &= \sum_{i=1}^k \left(\frac{K_{i1}}{s - p_i} + \frac{K_{i2}}{(s - p_i)^2} + \dots + \frac{K_{im_i}}{(s - p_i)^{m_i}} \right) \\ &= \sum_{i=1}^k \sum_{\ell=1}^{m_i} \frac{K_{i\ell}}{(s - p_i)^\ell} \end{aligned}$$

dove $K_{i\ell}$ è detto **residuo di ordine ℓ** associato al polo p_i e si calcola come

$$K_{i\ell} = \lim_{s \rightarrow p_i} \frac{1}{(m_i - \ell)!} \frac{d^{(m_i - \ell)}}{ds^{m_i - \ell}} [(s - p_i)^{m_i} F(s)]$$

Teorema dei residui e antitrasformata di Laplace

- Consideriamo il segnale

$$f(t) = \mathcal{L}^{-1} \{F(s)\}$$

- Dalla scomposizione in fratti semplici, nel caso generale

$$F(s) = \sum_{i=1}^k \sum_{\ell=1}^{m_i} \frac{K_{i\ell}}{(s - p_i)^\ell}$$

e dalla linearità dell'antitrasformata di Laplace, abbiamo

$$\begin{aligned} f(t) &= \mathcal{L}^{-1} \left\{ \sum_{i=1}^k \sum_{\ell=1}^{m_i} \frac{K_{i\ell}}{(s - p_i)^\ell} \right\} \\ &= \sum_{i=1}^k \sum_{\ell=1}^{m_i} K_{i\ell} \mathcal{L}^{-1} \left\{ \frac{1}{(s - p_i)^\ell} \right\} = \sum_{i=1}^k \sum_{\ell=1}^{m_i} \frac{K_{i\ell}}{(\ell - 1)!} t^{\ell-1} e^{p_i t} 1(t) \end{aligned}$$

A un polo p_i di molteplicità m_i sono associati i **modi**

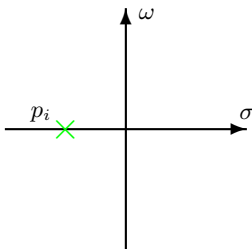
$$e^{p_i t} 1(t), t e^{p_i t} 1(t), \dots, t^{m_i-1} e^{p_i t} 1(t)$$

Polo reale $p_i < 0$

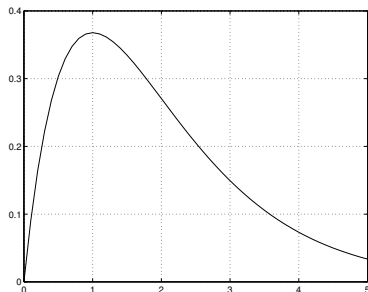
- **polo reale** $p_i < 0$ con molteplicità $m_i \Rightarrow$ modi corrispondenti

$$e^{p_i t} 1(t), t e^{p_i t} 1(t), \dots, t^{m_i-1} e^{p_i t} 1(t)$$

- L'esponenziale $e^{p_i t}$ domina sulla potenza t^ℓ
 \Rightarrow sono tutti modi **convergenti** a 0



Posizione del polo nel piano s



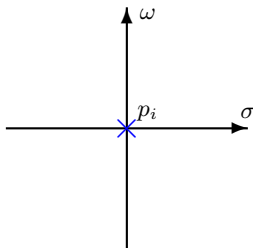
Evoluzione del modo $t e^{p_i t} 1(t)$

Polo reale $p_i = 0$

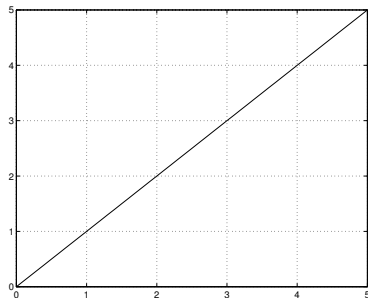
- **polo reale** $p_i = 0$ con molteplicità $m_i \Rightarrow$ modi corrispondenti

$$1(t), t \cdot 1(t), \dots, t^{m_i-1} 1(t)$$

- Modo $t^\ell 1(t)$
 - **limitato** per $\ell = 0$
 - **divergente** per $\ell > 0$



Posizione del polo nel piano s



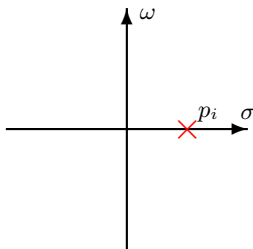
Evoluzione del modo $t \cdot 1(t)$

Polo reale $p_i > 0$

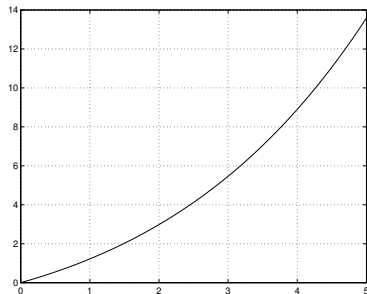
- **polo reale** $p_i > 0$ con molteplicità $m_i \Rightarrow$ modi corrispondenti

$$e^{p_i t} 1(t), t e^{p_i t} 1(t), \dots, t^{m_i-1} e^{p_i t} 1(t)$$

- Sono tutti modi **divergenti**



Posizione del polo nel piano s



Evoluzione del modo $t e^{p_i t} 1(t)$

Poli complessi

- Consideriamo un **polo complesso**

$$p_i = \sigma_i + j\omega_i$$

con **molteplicità** m_i

- Allora anche il suo complesso coniugato

$$\bar{p}_i = \sigma_i - j\omega_i$$

è polo con la **stessa molteplicità** m_i

- Modi complessi associati alla coppia di poli complessi

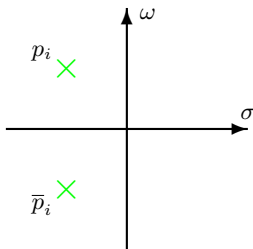
$$\begin{aligned} &e^{p_i t} 1(t), t e^{p_i t} 1(t), \dots, t^{m_i-1} e^{p_i t} 1(t) \\ &e^{\bar{p}_i t} 1(t), t e^{\bar{p}_i t} 1(t), \dots, t^{m_i-1} e^{\bar{p}_i t} 1(t) \end{aligned}$$

- Tali modi complessi si combinano in modo da ottenere i **modi reali**

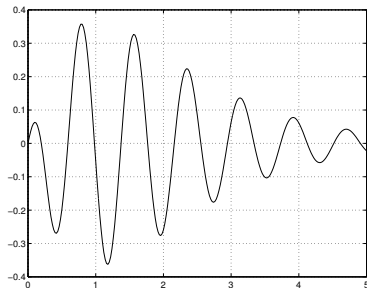
$$\begin{aligned} &\sin(\omega_i t) e^{\sigma_i t} 1(t), t \sin(\omega_i t) e^{\sigma_i t} 1(t), \dots, t^{m_i-1} \sin(\omega_i t) e^{\sigma_i t} 1(t) \\ &\cos(\omega_i t) e^{\sigma_i t} 1(t), t \cos(\omega_i t) e^{\sigma_i t} 1(t), \dots, t^{m_i-1} \cos(\omega_i t) e^{\sigma_i t} 1(t) \end{aligned}$$

Poli complessi coniugati con $\sigma_i < 0$

- **poli complessi coniugati** $p_i = \sigma_i + j\omega_i$, $\bar{p}_i = \sigma_i - j\omega_i$ con $\sigma_i < 0$ e molteplicità $m_i \Rightarrow$ modi corrispondenti
 $\sin(\omega_i t) e^{\sigma_i t} 1(t)$, $t \sin(\omega_i t) e^{\sigma_i t} 1(t)$, \dots , $t^{m_i-1} \sin(\omega_i t) e^{\sigma_i t} 1(t)$
 $\cos(\omega_i t) e^{\sigma_i t} 1(t)$, $t \cos(\omega_i t) e^{\sigma_i t} 1(t)$, \dots , $t^{m_i-1} \cos(\omega_i t) e^{\sigma_i t} 1(t)$
- L'esponenziale $e^{\sigma_i t}$ domina sulla potenza t^ℓ
 \Rightarrow sono tutti modi oscillanti **convergenti** a 0



Posizione dei poli nel piano s



Evoluzione del modo
 $t \cos(\omega_i t) e^{\sigma_i t} 1(t)$

Poli complessi coniugati con $\sigma_i = 0$

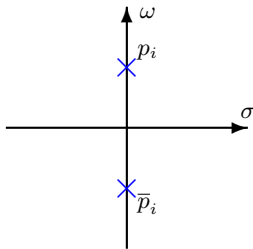
- **poli immaginari** $p_i = j\omega_i$, $\bar{p}_i = -j\omega_i$ con $\sigma_i = 0$ e molteplicità m_i
 \Rightarrow modi corrispondenti

$$\sin(\omega_i t) 1(t), t \sin(\omega_i t) 1(t), \dots, t^{m_i-1} \sin(\omega_i t) 1(t)$$

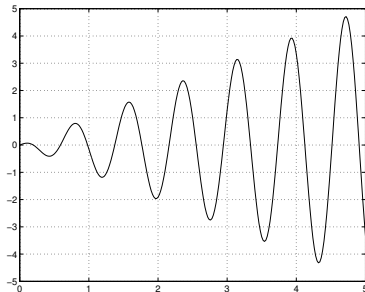
$$\cos(\omega_i t) 1(t), t \cos(\omega_i t) 1(t), \dots, t^{m_i-1} \cos(\omega_i t) 1(t)$$

- Modi $t^\ell \sin \omega_i t 1(t)$, $t^\ell \cos \omega_i t 1(t)$

- **limitati** per $\ell = 0$
- **divergenti** per $\ell > 0$



Posizione dei poli nel piano s



Evoluzione del modo

$$t \cos(\omega_i t) 1(t)$$

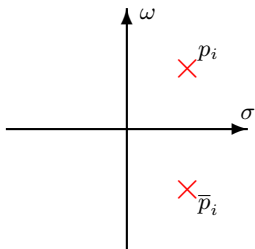
Poli complessi coniugati con $\sigma_i > 0$

- **poli complessi coniugati** $p_i = \sigma_i + j\omega_i$, $\bar{p}_i = \sigma_i - j\omega_i$ con $\sigma_i > 0$ e molteplicità $m_i \Rightarrow$ modi corrispondenti

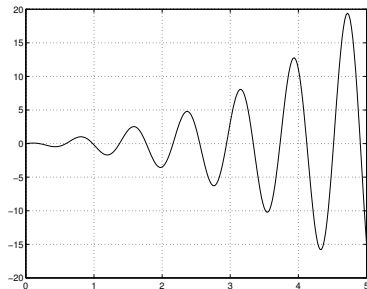
$$\sin(\omega_i t) e^{\sigma_i t} 1(t), t \sin(\omega_i t) e^{\sigma_i t} 1(t), \dots, t^{m_i-1} \sin(\omega_i t) e^{\sigma_i t} 1(t)$$

$$\cos(\omega_i t) e^{\sigma_i t} 1(t), t \cos(\omega_i t) e^{\sigma_i t} 1(t), \dots, t^{m_i-1} \cos(\omega_i t) e^{\sigma_i t} 1(t)$$

- Sono tutti modi oscillanti **divergenti**

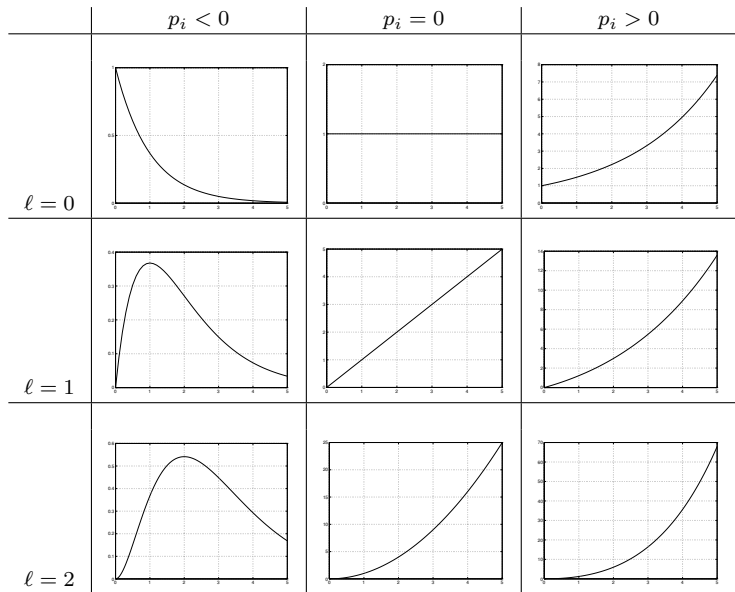


Posizione dei poli nel piano s

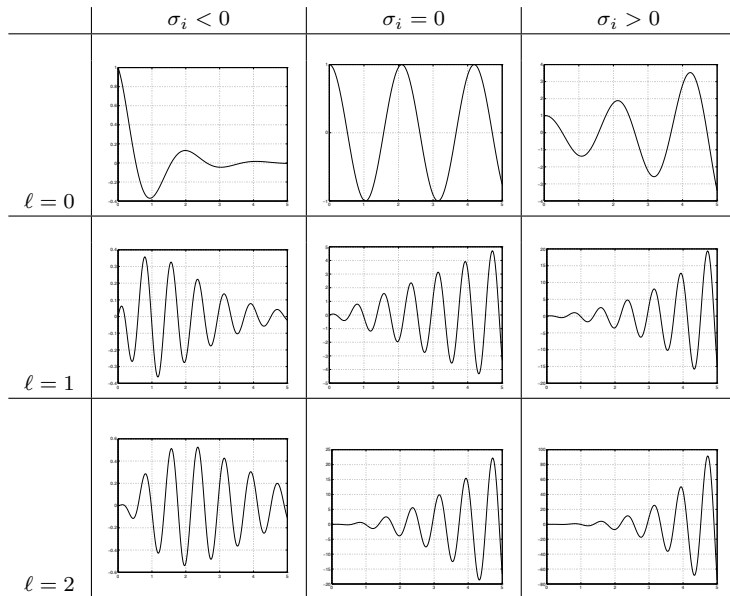


Evoluzione del modo
 $t \cos(\omega_i t) e^{\sigma_i t} 1(t)$

Evoluzione dei modi $t^\ell e^{p_i t} 1(t)$ con p_i reale



Evoluzione dei modi $t^\ell \cos(\omega_i t) e^{\sigma_i t} 1(t)$



Classificazione dei modi $t^\ell e^{p_i t} 1(t)$

	$\sigma_i < 0$	$\sigma_i = 0$	$\sigma_i > 0$
$\ell = 0$	convergente	limitato	divergente
$\ell > 0$	convergente	divergente	divergente

- **Parte reale** $\sigma_i = \text{Re}\{p_i\}$ e **molteplicità** m_i (nel caso $\sigma_i = 0$) determinano la **convergenza/divergenza**
- **Parte immaginaria** $\omega_i = \text{Im}\{p_i\}$ determina la presenza o meno di **oscillazioni**

Nota: Per conoscere l'andamento qualitativo di $f(t) = \mathcal{L}^{-1}\{F(s)\}$ è sufficiente guardare la **posizione dei poli** nel piano s e la loro **molteplicità**

Relazione tra posizione dei poli e evoluzione nel tempo

Teorema 2.1

a $f(t)$ è **convergente**

$$\lim_{t \rightarrow \infty} f(t) = 0$$

\Leftrightarrow se e solo se tutti i modi di $F(s)$ sono convergenti

\Leftrightarrow tutti i poli di $F(s)$ hanno parte reale < 0

b $f(t)$ è **limitata**

$$\exists M \text{ tale che } |f(t)| \leq M \quad \forall t \geq 0$$

\Leftrightarrow tutti i modi di $F(s)$ sono limitati

\Leftrightarrow tutti i poli di $F(s)$ hanno parte reale ≤ 0 **AND** quelli con parte reale $= 0$ hanno molteplicità 1

c $f(t)$ è **divergente**

$$\lim_{t \rightarrow \infty} |f(t)| = \infty$$

\Leftrightarrow esiste almeno un modo di $F(s)$ divergente

$\Leftrightarrow F(s)$ ha almeno un polo con parte reale > 0 **OR** almeno un polo con parte reale $= 0$ e molteplicità > 1

Teorema del valore finale

Nota: nel caso di $f(t)$ limitata (caso b), il limite per $t \rightarrow \infty$ **non** esiste sempre!

- Il limite non esiste quando ci sono modi oscillanti persistenti associati a poli $p_i = \sigma_i + j\omega_i$ con $\sigma_i \geq 0$ e $\omega_i \neq 0$
- Se non ci sono modi oscillanti persistenti vale il **teorema del valore finale**

Fatto 2.6 (Teorema del valore finale) Se tutti i poli di $F(s)$ hanno parte reale < 0 tranne al più un polo in 0 con molteplicità 1, allora vale

$$\lim_{t \rightarrow \infty} f(t) = K$$

con

$$K = \lim_{s \rightarrow 0} sF(s)$$

Teorema del valore finale: dimostrazione

- Nelle ipotesi fatte, la scomposizione in fratti semplici della $F(s)$ assume la forma

$$F(s) = \frac{K_1}{s} + \sum_{i=2}^k \sum_{\ell=1}^{m_i} \frac{K_{i\ell}}{(s - p_i)^\ell}$$

con K_1 **residuo** del polo in 0

$$K_1 = \lim_{s \rightarrow 0} sF(s)$$

- Nota:** se il polo in 0 non è presente allora la scomposizione vale ancora con $K_1 = 0$
- Di conseguenza

$$f(t) = \mathcal{L}^{-1}\{F(s)\} = K_1 1(t) + \sum_{i=2}^k \sum_{\ell=1}^{m_i} \frac{K_{i\ell}}{(\ell-1)!} t^{\ell-1} e^{p_i t} 1(t)$$

- Tutti i modi della sommatoria sono **convergenti** perché associati a poli con parte reale < 0
- Di conseguenza

$$\lim_{t \rightarrow \infty} f(t) = K_1$$

Teorema del valore finale: esempio di applicazione

- Consideriamo

$$F(s) = \frac{2}{s(s+2)}$$

- I poli sono $p_1 = 0$ con molteplicità $m_1 = 1$ e $p_2 = -2$ con molteplicità $m_2 = 1$
 \Rightarrow posso applicare il teorema del valore finale

$$\lim_{t \rightarrow \infty} f(t) = \lim_{s \rightarrow 0} sF(s) = \lim_{s \rightarrow 0} s \frac{2}{s(s+2)} = \lim_{s \rightarrow 0} \frac{2}{s+2} = 1$$

- Possiamo verificare il risultato scomponendo in fratti semplici calcolando l'antitrasformata

$$f(t) = \mathcal{L}^{-1} \left\{ \frac{2}{s(s+2)} \right\} = \mathcal{L}^{-1} \left\{ \frac{1}{s} - \frac{1}{s+2} \right\} = 1(t) - e^{-2t}1(t)$$

Esercizi proposti

Consideriamo un segnale $f(t)$ ottenuto antitrasformando una funzione $F(s)$ razionale in Laplace. Determinare, se esiste, il limite per $t \rightarrow \infty$ di $f(t)$ nei seguenti casi.

$$1 \quad F(s) = \frac{s^2 + 1}{s^3 + 10s}$$

$$2 \quad F(s) = \frac{5s}{(s^2 + s + 1)^2}$$

$$3 \quad F(s) = \frac{5s}{s(s^2 + s + 1)}$$

$$4 \quad F(s) = \frac{4s}{s^2 - s + 1}$$

$$5 \quad F(s) = \frac{2s + 1}{(s^2 + 4)^2}$$

$$6 \quad F(s) = \frac{s}{s^3 + 2s^2}$$

Teorema dei residui - estensione

- Consideriamo una funzione razionale $F(s)$

$$F(s) = \frac{b(s)}{a(s)} = \frac{b_n s^n + b_{n-1} s^{n-1} + \dots + b_0}{s^n + a_{n-1} s^{n-1} + \dots + a_0}$$

- $F(s)$ può essere **strettamente propria** $b_n = 0$ o **semplicemente propria** $b_n \neq 0$

Fatto 2.5 (caso generale) Si consideri una funzione razionale $F(s)$. Allora $F(s)$ ammette un'espansione in fratti nella forma

$$F(s) = K_0 + \sum_{i=1}^k \sum_{\ell=1}^{m_i} \frac{K_{i\ell}}{(s - p_i)^\ell}$$

dove

$$K_0 = b_n$$

e i residui $K_{i\ell}$ sono calcolati come al solito.

Teorema dei residui e antitrasformata di Laplace

- Consideriamo il segnale

$$f(t) = \mathcal{L}^{-1} \{F(s)\}$$

- Dalla scomposizione in fratti semplici, nel caso generale

$$F(s) = K_0 + \sum_{i=1}^k \sum_{\ell=1}^{m_i} \frac{K_{i\ell}}{(s - p_i)^\ell}$$

e dalla linearità dell'antitrasformata di Laplace, abbiamo

$$\begin{aligned} f(t) &= \mathcal{L}^{-1} \{K_0\} + \sum_{i=1}^k \sum_{\ell=1}^{m_i} K_{i\ell} \mathcal{L}^{-1} \left\{ \frac{1}{(s - p_i)^\ell} \right\} \\ &= K_0 \delta(t) + \sum_{i=1}^k \sum_{\ell=1}^{m_i} \frac{K_{i\ell}}{(\ell - 1)!} t^{\ell-1} e^{p_i t} 1(t) \end{aligned}$$

$F(s)$ semplicemente propria $b_n \neq 0 \Rightarrow f(t)$ presenta una componente **impulsiva**

Esempio

- Consideriamo

$$F(s) = \frac{3s + 1}{s + 1}$$

- In questo caso $b_n = b_1 = 3 \Rightarrow F(s)$ **semplicemente propria**
- Poiché c'è solo polo $p_1 = -1$ possiamo scrivere

$$F(s) = K_0 + \frac{K_1}{s + 1}$$

con

$$K_0 = b_n = 3 \quad K_1 = \lim_{s \rightarrow -1} (s + 1)F(s) = \lim_{s \rightarrow -1} (3s + 1) = -2$$

- Di conseguenza

$$\begin{aligned} f(t) = \mathcal{L}^{-1}\{F(s)\} &= K_0 \delta(t) + K_1 e^{-t} 1(t) \\ &= 3 \delta(t) - 2 e^{-t} 1(t) \end{aligned}$$

2.4 **Analisi modale**

Analisi modale

- Consideriamo un sistema LTI TC

$$\begin{cases} \dot{x}(t) &= Ax(t) + Bu(t) \\ y(t) &= Cx(t) + Du(t) \end{cases} \quad t \geq 0$$

- Come visto le evoluzioni libere di stato e uscita sono

$$x_\ell(t) = e^{At}x_0 \quad y_\ell(t) = Ce^{At}x_0$$

- Nel dominio di Laplace

$$X_\ell(s) = (sI - A)^{-1}x_0 \quad Y_\ell(s) = C(sI - A)^{-1}x_0$$

Obiettivo determinare i modi di evoluzione presenti nell'evoluzione libera

$$x_\ell(t) = e^{At}x_0 = \mathcal{L}^{-1} \{ (sI - A)^{-1} \} x_0$$

Proprietà dell'inversa

- In generale

$$(sI - A)^{-1} = \frac{1}{\varphi(s)} \text{Adj}(sI - A)$$

- $\varphi(s) = \det(sI - A)$ **polinomio caratteristico** della matrice A
- $\text{Adj}(sI - A)$ matrice aggiogata
- $\varphi(s)$ polinomio di grado n
- $\text{Adj}(sI - A)$ matrice $n \times n$ di polinomi di grado $< n$

Gli elementi della matrice $(sI - A)^{-1}$ sono **funzioni razionali strettamente proprie**, ossia tali che

grado numeratore $<$ grado denominatore

Polinomio caratteristico e proprietà dell'inversa

- Le **radici** del polinomio caratteristico $\varphi(s) = \det(sI - A)$ sono gli **autovalori** della matrice A

$$\lambda_1, \dots, \lambda_k$$

ciascuno con la sua **molteplicità algebrica**

$$\mu_1, \dots, \mu_k$$

- Possiamo scrivere

$$\varphi(s) = \prod_{i=1}^k (s - \lambda_i)^{\mu_i}$$

con $\sum_{i=1}^k \mu_i = n$ ordine del sistema [$n = \dim(x)$]

Gli elementi della matrice $(sI - A)^{-1}$ sono **funzioni razionali strettamente proprie** aventi come **poli** gli **autovalori** della matrice A

Esempio 1

- Consideriamo la matrice

$$A = \begin{bmatrix} 1 & 0 \\ 0 & -1 \end{bmatrix}$$

- Polinomio caratteristico

$$\varphi(s) = \det(sI - A) = \det \begin{bmatrix} s-1 & 0 \\ 0 & s+1 \end{bmatrix} = (s-1)(s+1)$$

\Rightarrow autovalori $\lambda_1 = 1$ con molteplicità $\mu_1 = 1$ e $\lambda_2 = -1$ con molteplicità $\mu_2 = 1$

- Matrice aggiogata

$$\text{Adj}(sI - A) = \begin{bmatrix} s+1 & 0 \\ 0 & s-1 \end{bmatrix}$$

- Matrice inversa

$$(sI - A)^{-1} = \frac{1}{\varphi(s)} \text{Adj}(sI - A) = \begin{bmatrix} \frac{1}{s-1} & 0 \\ 0 & \frac{1}{s+1} \end{bmatrix}$$

Nota: nel caso di matrice **diagonale**, l'inversa si calcola invertendo gli elementi sulla diagonale

Esempio 1 - analisi modale

- Nell'esempio 1

$$\begin{aligned} e^{At} &= \mathcal{L}^{-1} \{ (sI - A)^{-1} \} = \mathcal{L}^{-1} \left\{ \begin{bmatrix} \frac{1}{s-1} & 0 \\ 0 & \frac{1}{s+1} \end{bmatrix} \right\} \\ &= \begin{bmatrix} e^t & 0 \\ 0 & e^{-t} \end{bmatrix} 1(t) \quad t \geq 0 \end{aligned}$$

⇒ i modi di evoluzione sono e^t e e^{-t}

- I modi di evoluzione sono quelli associati ai due autovalori $\lambda_1 = 1$ e $\lambda_2 = -1$

Nota: nel seguito per brevità ometteremo il termine $1(t)$ dai modi, intendendo comunque che l'espressione trovata vale per $t \geq 0$

Esempio 2

- Consideriamo la matrice

$$A = \begin{bmatrix} 0 & 1 \\ 0 & 0 \end{bmatrix}$$

- Polinomio caratteristico

$$\varphi(s) = \det(sI - A) = \det \begin{bmatrix} s & -1 \\ 0 & s \end{bmatrix} = s^2$$

\Rightarrow autovalori $\lambda_1 = 0$ con molteplicità $\mu_1 = 2$

- Matrice aggiogata

$$\text{Adj}(sI - A) = \begin{bmatrix} s & 1 \\ 0 & s \end{bmatrix}$$

- Matrice inversa

$$(sI - A)^{-1} = \frac{1}{\varphi(s)} \text{Adj}(sI - A) = \begin{bmatrix} \frac{1}{s} & \frac{1}{s^2} \\ 0 & \frac{1}{s} \end{bmatrix}$$

Esempio 2 - analisi modale

- Nell'esempio 2

$$\begin{aligned} e^{At} &= \mathcal{L}^{-1} \{ (sI - A)^{-1} \} = \mathcal{L}^{-1} \left\{ \begin{bmatrix} \frac{1}{s} & \frac{1}{s^2} \\ 0 & \frac{1}{s} \end{bmatrix} \right\} \\ &= \begin{bmatrix} 1 & t \\ 0 & 1 \end{bmatrix} 1(t) \quad t \geq 0 \end{aligned}$$

\Rightarrow i modi di evoluzione sono 1 e t

- I modi di evoluzione sono quelli associati all'autovalore $\lambda_1 = 0$ di molteplicità $\mu_1 = 2$
- In questo caso, ho un modo **limitato** e uno **divergente**

Esempio 3

- Consideriamo la matrice

$$A = \begin{bmatrix} 0 & 0 \\ 0 & 0 \end{bmatrix}$$

- Polinomio caratteristico

$$\varphi(s) = \det(sI - A) = \det \begin{bmatrix} s & 0 \\ 0 & s \end{bmatrix} = s^2$$

\Rightarrow autovalori $\lambda_1 = 0$ con molteplicità $\mu_1 = 2$

- Matrice aggiogata

$$\text{Adj}(sI - A) = \begin{bmatrix} s & 0 \\ 0 & s \end{bmatrix}$$

- Matrice inversa

$$(sI - A)^{-1} = \frac{1}{\varphi(s)} \text{Adj}(sI - A) = \begin{bmatrix} \frac{1}{s} & 0 \\ 0 & \frac{1}{s} \end{bmatrix}$$

Nota: nel rapporto $\text{Adj}(sI - A)/\varphi(s)$ possono esserci semplificazioni che abbassano la molteplicità!

Esempio 3 - analisi modale

- Nell'esempio 3

$$\begin{aligned} e^{At} &= \mathcal{L}^{-1} \{ (sI - A)^{-1} \} = \mathcal{L}^{-1} \left\{ \begin{bmatrix} \frac{1}{s} & 0 \\ 0 & \frac{1}{s} \end{bmatrix} \right\} \\ &= \begin{bmatrix} 1 & 0 \\ 0 & 1 \end{bmatrix} 1(t) \quad t \geq 0 \end{aligned}$$

⇒ l'unico modo di evoluzione è 1

- Per effetto dell'abbassamento di molteplicità nell'inversa $(sI - A)^{-1}$, il modo t **non** compare in e^{At}
- In questo caso, ho un unico modo **limitato**

Polinomio minimo

- L'evoluzione nel tempo di e^{At} è determinata dai poli $(sI - A)^{-1}$
- Gli elementi di

$$(sI - A)^{-1} = \frac{1}{\varphi(s)} \text{Adj}(sI - A)$$

hanno come poli gli autovalori della matrice A **ma** possono esserci semplificazioni che abbassano la molteplicità

Per tenere conto delle semplificazioni, definiamo il **polinomio minimo** $m(s)$ del sistema, così ottenuto

- a. si calcolano $\text{Adj}(sI - A)$ e $\varphi(s)$
- b. si calcola $(sI - A)^{-1} = \text{Adj}(sI - A)/\varphi(s)$ effettuando tutte le semplificazioni
- c. si calcola $m(s)$ come **minimo comune multiplo** dei **denominatori** degli elementi di $(sI - A)^{-1}$

Polinomio minimo - esempio di calcolo

- Negli esempi 2 e 3 il polinomio caratteristico era lo stesso $\varphi(s) = s^2$
- Nell'esempio 2

$$A = \begin{bmatrix} 0 & 1 \\ 0 & 0 \end{bmatrix} \quad (sI - A)^{-1} = \begin{bmatrix} \frac{1}{s} & \frac{1}{s^2} \\ 0 & \frac{1}{s} \end{bmatrix}$$

\Rightarrow polinomio minimo $m(s) = s^2$

- Nell'esempio 3

$$A = \begin{bmatrix} 0 & 0 \\ 0 & 0 \end{bmatrix} \quad (sI - A)^{-1} = \begin{bmatrix} \frac{1}{s} & 0 \\ 0 & \frac{1}{s} \end{bmatrix}$$

\Rightarrow polinomio minimo $m(s) = s$

Nota: il polinomio minimo $m(s)$ è un **sottomultiplo** del polinomio caratteristico $\varphi(s)$

Polinomio minimo e molteplicità

- il polinomio minimo $m(s)$ è un **sottomultiplo** del polinomio caratteristico $\varphi(s)$
 \Rightarrow il polinomio minimo ha come radici gli autovalori di A , eventualmente con molteplicità **inferiore**

Fatto 2.7 Siano

- λ_i autovalore del sistema
- μ_i molteplicità di λ_i nel polinomio caratteristico $\varphi(s)$ (molteplicità algebrica);
- m_i molteplicità di λ_i nel polinomio minimo $m(s)$

Allora vale la relazione

$$1 \leq m_i \leq \mu_i$$

Nota: $m_i \geq 1 \Rightarrow$ gli autovalori di A **non** possono sparire completamente nel polinomio minimo

Polinomio minimo e molteplicità: dimostrazione

- $m_i \leq \mu_i$ vale perché semplificando non posso aumentare la molteplicità!
- Per dimostrare $m_i \geq 1 \Rightarrow$ è sufficiente far vedere che gli autovalori di A **non** possono sparire completamente come poli di $(sI - A)^{-1}$
- Ricordiamo che per ogni **autovalore** λ_i esiste almeno un **autovettore** v_i tale che

$$A v_i = \lambda_i v_i$$

- Di conseguenza, cambiando segno e aggiungendo ad ambo i membri $s v_i$,

$$s v_i - A v_i = s v_i - \lambda_i v_i$$

$$\Downarrow$$

$$(sI - A)v_i = (s - \lambda_i)v_i$$

$$\Downarrow$$

$$\frac{1}{s - \lambda_i} v_i = (sI - A)^{-1} v_i$$

- Di conseguenza, $s - \lambda_i$ deve comparire al denominatore di **almeno uno** degli elementi di $(sI - A)^{-1}$

Modi naturali

- La matrice inversa $(sI - A)^{-1}$ ha come poli gli autovalori del sistema

$$\lambda_1, \dots, \lambda_k$$

con le molteplicità

$$m_1, \dots, m_k$$

- Ricordiamo che per l'evoluzione libera vale Ricordando ora che per la risposta libera vale

$$x_\ell(t) = e^{At}x(0) = \mathcal{L}^{-1} \{ (sI - A)^{-1} \} x(0)$$

Teorema 2.2 e^{At} è una matrice avente come elementi opportune **combinazioni lineari** di

$$e^{\lambda_i t}, t e^{\lambda_i t}, \dots, t^{m_i-1} e^{\lambda_i t}$$

per $i = 1, \dots, k$.

Tale segnali sono detti **modi naturali del sistema**.

- Di conseguenza $x_\ell(t) = e^{At}x(0)$ e $y_\ell(t) = C e^{At}x(0)$ evolvono secondo una opportuna **combinazione dei modi naturali** del sistema (al variare delle **condizioni iniziali**)

Modi naturali

- **Autovalore complesso**

$$\lambda_i = \sigma_i + j\omega_i$$

⇒ anche il suo **complesso coniugato**

$$\bar{\lambda}_i = \sigma_i - j\omega_i$$

è autovalore con la **stessa** molteplicità m_i

- I due modi

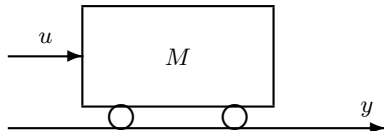
$$t^\ell e^{\lambda_i t}, \quad t^\ell e^{\bar{\lambda}_i t}$$

sono sempre presenti in **coppia** e si **combinano** dando luogo ai due modi reali

$$t^\ell \cos(\omega_i t) e^{\sigma_i t}, \quad t^\ell \sin(\omega_i t) e^{\sigma_i t}$$

Esempio: sistema meccanico

- Carrello di massa M soggetto ad una forza esterna $u(t)$
- $y(t)$ posizione del carrello al tempo t
- b coefficiente di attrito viscoso



- Scegliamo come stato

$$x(t) = \begin{bmatrix} x_1(t) \\ x_2(t) \end{bmatrix} = \begin{bmatrix} y(t) \\ \dot{y}(t) \end{bmatrix}$$

\Rightarrow equazioni di stato

$$\begin{aligned} \dot{x}(t) &= \underbrace{\begin{bmatrix} 0 & 1 \\ 0 & -b/M \end{bmatrix}}_A x(t) + \underbrace{\begin{bmatrix} 0 \\ 1/M \end{bmatrix}}_B u(t) \\ y(t) &= \underbrace{\begin{bmatrix} 1 & 0 \end{bmatrix}}_C x(t) \end{aligned}$$

Esempio: sistema meccanico

- Fissiamo $M = 1$ e $b = 1$

$$A = \begin{bmatrix} 0 & 1 \\ 0 & -b/M \end{bmatrix} = \begin{bmatrix} 0 & 1 \\ 0 & -1 \end{bmatrix}$$

- Polinomio caratteristico $\varphi(s) = s(s+1)$
 \Rightarrow autovalori $\lambda_1 = 0$ con molteplicità $\mu_1 = 1$ e $\lambda_2 = -1$ con molteplicità $\mu_2 = 1$

- Matrice inversa

$$(sI - A)^{-1} = \begin{bmatrix} \frac{1}{s} & \frac{1}{s(s+1)} \\ 0 & \frac{1}{s+1} \end{bmatrix}$$

\Rightarrow polinomio minimo $m(s) = \varphi(s) = s(s+1)$ molteplicità $m_1 = 1$ e $m_2 = 1$

- Modi naturali $e^{\lambda_1 t} = 1$, $e^{\lambda_2 t} = e^{-t}$
- Elementi di e^{At} = combinazione lineari dei modi naturali

$$e^{At} = \mathcal{L}^{-1} \{ (sI - A)^{-1} \} = \begin{bmatrix} 1 & 1 - e^{-t} \\ 0 & e^{-t} \end{bmatrix}$$

Esercizi proposti

Determinare i modi naturali e calcolare e^{At} per un sistema LTI TC avente come matrice di transizione dello stato

$$1 \quad A = \begin{bmatrix} 0 & 1 \\ -1 & 0 \end{bmatrix}$$

$$2 \quad A = \begin{bmatrix} -3 & 2 & 0 \\ 1 & -2 & 0 \\ 0 & 0 & -1 \end{bmatrix}$$

Suggerimento: per una matrice diagonale a blocchi l'inversa si calcola invertendo i blocchi sulla diagonale

$$A = \begin{bmatrix} A_1 & 0 \\ 0 & A_2 \end{bmatrix} \quad A^{-1} = \begin{bmatrix} A_1^{-1} & 0 \\ 0 & A_2^{-1} \end{bmatrix}$$

Modi naturali e autovettori

- Dalla dimostrazione del fatto **Fatto 2.7**, dato un **autovettore** v_i associato all'autovalore λ_i , vale

$$(sI - A)^{-1}v_i = \frac{1}{s - \lambda_i}v_i$$

\Rightarrow antitrasformando

$$e^{At}v_i = e^{\lambda_i t}v_i$$

- Se prediamo come condizione iniziale

$$x(0) = v_i$$

\Rightarrow evoluzione libera

$$x_\ell(t) = e^{At}x(0) = e^{At}v_i = e^{\lambda_i t}v_i$$

La condizione iniziale $x(0) = v_i$ eccita **solo** il modo naturale $e^{\lambda_i t} \Rightarrow$ il sistema evolve secondo tale modo naturale nella **direzione dell'autovettore**

Esempio: sistema meccanico

- Nel caso del sistema meccanico

$$A = \begin{bmatrix} 0 & 1 \\ 0 & -1 \end{bmatrix}$$

\Rightarrow polinomio caratteristico $\varphi(s) = s(s + 1)$

- Modi naturali $e^{\lambda_1 t} = 1$, $e^{\lambda_2 t} = e^{-t}$

$$e^{At} = \begin{bmatrix} 1 & 1 - e^{-t} \\ 0 & e^{-t} \end{bmatrix}$$

- In generale l'evoluzione libera contiene **entrambi** i modi naturali

$$\begin{aligned} x_\ell(t) &= e^{At} \begin{bmatrix} x_1(0) \\ x_2(0) \end{bmatrix} \\ &= \begin{bmatrix} x_1(0) + (1 - e^{-t}) x_2(0) \\ e^{-t} x_2(0) \end{bmatrix} \end{aligned}$$

Esempio: sistema meccanico

- $\lambda_1 = 0$ ha come autovettore

$$v_1 = \begin{bmatrix} 1 \\ 0 \end{bmatrix}$$

infatti

$$\underbrace{\begin{bmatrix} 0 & 1 \\ 0 & -1 \end{bmatrix}}_A \underbrace{\begin{bmatrix} 1 \\ 0 \end{bmatrix}}_{v_1} = \underbrace{\begin{bmatrix} 0 \\ 0 \end{bmatrix}}_{\lambda_1 v_1}$$

- Consideriamo una condizione iniziale nella direzione dell'autovettore v_1

$$x(0) = \begin{bmatrix} x_1(0) \\ 0 \end{bmatrix}$$

\Rightarrow solo il modo naturale $e^{\lambda_1 t} = 1$ viene eccitato

$$x_\ell(t) = e^{At} x(0) = \begin{bmatrix} 1 & 1 - e^{-t} \\ 0 & e^{-t} \end{bmatrix} \begin{bmatrix} x_1(0) \\ 0 \end{bmatrix} = \begin{bmatrix} x_1(0) \\ 0 \end{bmatrix}$$

Esempio: sistema meccanico

- $\lambda_2 = -1$ ha come autovettore

$$v_2 = \begin{bmatrix} 1 \\ -1 \end{bmatrix}$$

infatti

$$\underbrace{\begin{bmatrix} 0 & 1 \\ 0 & -1 \end{bmatrix}}_A \underbrace{\begin{bmatrix} 1 \\ -1 \end{bmatrix}}_{v_2} = \underbrace{\begin{bmatrix} -1 \\ 1 \end{bmatrix}}_{\lambda_2 v_2}$$

- Consideriamo una condizione iniziale nella direzione dell'autovettore v_2

$$x(0) = \begin{bmatrix} x_1(0) \\ -x_1(0) \end{bmatrix}$$

\Rightarrow solo il modo naturale $e^{\lambda_2 t} = e^{-t}$ viene eccitato

$$x_\ell(t) = e^{At} x(0) = \begin{bmatrix} 1 & 1 - e^{-t} \\ 0 & e^{-t} \end{bmatrix} \begin{bmatrix} x_1(0) \\ -x_1(0) \end{bmatrix} = \begin{bmatrix} e^{-t} x_1(0) \\ -e^{-t} x_1(0) \end{bmatrix}$$